

طراحی و اجرای الگوریتم فوروارد تصاویر سیستم برش نگاری فلورست مولکولی با استفاده از روش اجزای محدود

خلاصه

مقدمه: تصویربرداری نوری مولکولی روش غیر تهاجمی است که در تشخیص بیماری‌ها در سطوح سلولی و ارزیابی عملکرد مولکولی در ارگان‌های زنده مورد استفاده قرار می‌گیرد. درین روش‌های مختلف تصویربرداری مولکولی، برش نگاری فلورست مولکولی (FMT) به عنوان یک روش غیر تهاجمی و دقیق با استفاده از پرتوهای غیر یونیزان معرفی شده است. این نوع تصویربرداری شامل یک دوربین سی‌سی‌دی به عنوان آشکارساز و یک منبع نوری می‌باشد که در دو جهت مخالف بدن حیوان کوچک قرار گرفته‌اند. در این تکنیک سلول موردنظر با استفاده از ماده فلورست، نشان‌دار و توسط پرتوی لیزر تحریک می‌شود. برای دسترسی به اطلاعات مربوط به عمق و تراکم ماده فلورست به الگوریتم‌های مناسب چهت بازسازی تصویر نیاز می‌باشد. منظور از بازسازی در تصویربرداری FMT تعیین شدت توزیع فلورست در عمق معین بافت موردنظر است. مرحله بازسازی شامل دو مرحله Forward و Inverse می‌باشد. در مرحله Forward با دانستن مکان چشممه می‌توان شدت فلورست رسیده به سطح بافت را تخمین زد و مرحله Inverse شامل تخمین توزیع مکانی ماده فلورست با استفاده از شدت اندازه‌گیری شده در سطح بافت می‌باشد. هدف این مقاله توسعه یک الگوریتم فوروارد سریع با استفاده از روش اجزای محدود برای سیستم تصویربرداری برش نگاری فلورست مولکولی است.

روش بررسی: الگوریتم فوروارد براساس تقریب دیفیوژن با استفاده از روش اجزای محدود برای یک محیط همگن در محیط متلب نوشته شد. الگوریتم برای تعیین عملکرد صحیح به عنوان ورودی در مرحله بازسازی نرمافزار NIRFAST قرار گرفت و با نتایج بدست آمده با این نرمافزار نیز موردن مقایسه قرار گرفت.

یافته‌ها: نتایج نشان دادند که الگوریتم نوشته شده با داده‌های بدست آمده از نرمافزار NIRFAST مطابقت دارد و ضریب همبستگی بیش از ۰/۹۲ است. با توجه به مقادیر P.value اختلاف معنی داری میان نتایج الگوریتم پیشنهادی و نرم افزار مرجع مشاهده نشد.

بحث و نتیجه‌گیری: یک الگوریتم تقریبی برای حل معادله دیفیوژن دو بعدی براساس روش اجزای محدود برای اجرای الگوریتم فوروارد FMT نوشته شد. این الگوریتم شامل ساخت فانتوم، ساخت مش، تعیین نقاط گرهای، تعیین مکان منبع و آشکارسازها، جای گذاری منبع فلورست، حل معادله دیفیوژن با استفاده از تقریب گالرکین و محاسبه شدت رسیده به سطح بود. با توجه به نتایج بدست آمده از الگوریتم پیشنهادی و مقایسه با نتایج نرمافزار NIRFAST می‌توان نتیجه گرفت که این الگوریتم از سرعت و دقت بالایی برخوردار است. این الگوریتم برای برنامه بازسازی در روش FMT می‌تواند مورد استفاده قرار گیرد.

واژه‌های کلیدی: مسئله فوروارد، روش اجزای محدود، تصویربرداری نوری، تقریب دیفیوژن

سیما صالح^۱

صدیقه مرجانه حجازی^{۲و۳}

امیرهمایون جعفری^۴

هانیه محمد رضا^۵

تکنم جهانفر^{۶و۷}

اکارشناسی ارشد، گروه فیزیک‌پزشکی و مهندسی

پزشکی، دانشکده پزشکی، دانشگاه علوم پزشکی تهران

دانشیار، گروه فیزیک‌پزشکی و مهندسی پزشکی،

دانشکده پزشکی، دانشگاه علوم پزشکی تهران

مرکز تحقیقات تصویربرداری سلولی و مولکولی،

پژوهشکده فناوری‌های نوین، پیمان‌ستان امام خمینی (ره)

استادیار، گروه فیزیک‌پزشکی و مهندسی پزشکی،

دانشکده پزشکی، دانشگاه علوم پزشکی تهران

نویسنده مسئول: صدقه مرجانه حجازی، تلفن: ۰۲۶۶۹۰۷۵۲۸

پست الکترونیک: mhejazi@sina.tums.ac.ir

مقدمه

مطالعات اخیر نشان داده‌اند که روش‌های تصویربرداری غیر تهاجمی با استفاده فوتون‌های نوری برای استخراج اطلاعات

زیست شناختی از موجود زنده بسیار مفید می‌باشد. این روش‌های تصویربرداری شامل توموگرافی همدوس نوری^۱ (OCT)

^۱Optical coherence tomography(OCT)

محدود که یک روش عددی است و نسبت به سایر روش‌ها سریع‌تر و انعطاف‌پذیرتر می‌باشد، استفاده می‌شود. در سال‌های اخیر از روش المان‌های محدود و تقریب گالرکین به طور گستره‌های در تصویربرداری نوری استفاده شده‌است روش اجزای محدود در سال ۱۹۹۳ و ۱۹۹۵ توسط Arridge و Schweiger برای انتشار نور در محیط پراکنده‌کننده به کار گرفته‌شد. آن‌ها نشان دادند که نتایج بدست‌آمده برای انواع مختلفی از ترکیب شرایط مرزی و شرایط منبع با نتایج بدست‌آمده از روش مونت‌کارلو مطابقت دارد. همچنین آن‌ها نشان دادند که این روش یک تکنیک انعطاف‌پذیر و سریع است که می‌تواند در هندسه‌های پیچیده و محیط‌های ناهمگن مورد استفاده قرار گیرد^[۴]. در سال ۲۰۰۰، Arridge و همکاران^[۶] برای استفاده در نواحی غیر پراکنده‌کننده در حوزه‌های پراکنده‌گی با استفاده از روش اجزای محدود(FEM) در مقابل محاسبه آهسته با استفاده ازتابع گرین روشی مستقیم و سریع ارائه دادند. آن‌ها نشان دادند که توافق خوبی میان نتایج آن‌ها و نتایج بدست‌آمده از محاسبات با استفاده از روش مونت‌کارلو وجود دارد. در سال ۲۰۰۸ Soloviev و همکاران^[۷] از روش اجزای محدود در بازسازی ترکیبی فلورسنت و پارامترهای اپتیکی براساس انواع الگوریتم‌های نیوتون استفاده کردند. در سال ۲۰۱۱ Ducros و همکاران^[۸] روش بازسازی سریع برای برش‌نگاری نوری پخش فلورسنت (FDOT) را معرفی نمودند. در این مطالعه با توجه به تعداد زیاد داده‌های ورودی از روش موجک برای متراکم‌سازی داده‌ها استفاده شد. نتایج نشان می‌دهد که در مورد روش تصویربرداری FDOT الگوریتم بازسازی براساس روش اجزای محدود(FEM) راه حلی مناسب می‌باشد.

روش اجزای محدود یا المان محدود یکی از روش‌های حل عددی است که برای حل تقریبی معادلات دیفرانسیلی جزئی و معادلات انتگرالی حاکم بر سیستم‌های فیزیکی استفاده می‌شود. اساس این روش ساده‌سازی و یا حذف کامل معادلات دیفرانسیلی پیچیده و تبدیل آن‌ها به معادلات ساده و قابل حل که از لحاظ عددی پایدار هستند، مانند معادلات اویلرمی می‌باشد. مزیت این روش نسبت به روش تحلیلی این است که از روش تحلیلی فقط برای معادلاتی که هندسه سیستم در آن‌ها ساده است می‌توان استفاده کرد ولی براساس این روش می‌توان معادلات دیفرانسیلی حاکم بر سیستم‌هایی را که دارای هندسه پیچیده هستند نیز حل نمود. این روش کاربردهای فراوانی در انتقال حرارت، مکانیک سیالات، الکترومغناطیس و اپتیک دارد. یکی از کاربردهای روش المان محدود در تصویربرداری نوری است که به طور گستره‌های

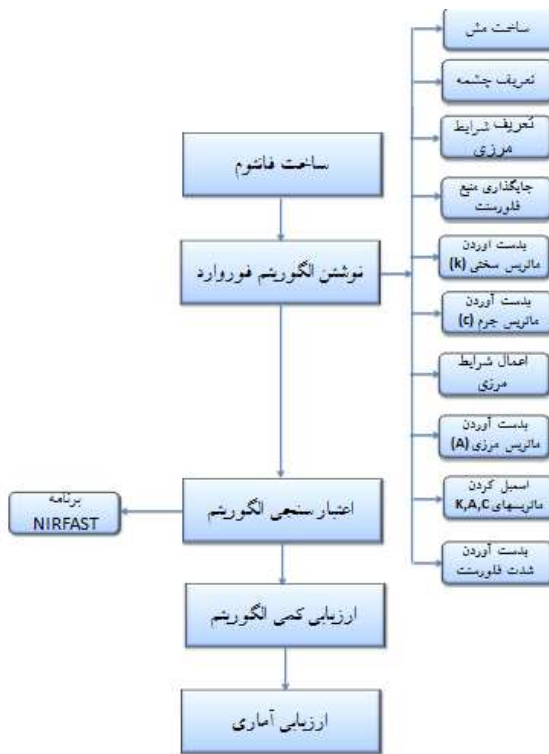
و توموگرافی نوری پخشی(DOT)^۲ و تصویربرداری مولکولی فلورسنت (FMI)^۳ هستند. در بین روش‌های فوق تنها روش تصویربرداری FMI به عنوان روش تصویربرداری مولکولی شناخته شده است. این روش تصویربرداری برای تصویربرداری در سطح مولکولی، ژنی و بهویژه در مosh ترانسژنیک به صورت درون‌تنی به کار می‌رود. در طول دهه‌های گذشته روش تصویربرداری فلورسنت مولکولی به طور گستره‌های پیشرفت کرده است. امروزه، FMT در روش‌های تشخیصی، درمانی، داروسازی و جراحی به طور وسیع به کار می‌رود^[۱].

در روش برش‌نگاری فلورسنت مولکولی(FMT)، ضایعه با نانوذرات فلورسنت نشان دار می‌شود و توسط پرتوی لیزر تحریک می‌گردد. پس از تحریک توسط پرتوی لیزر، پرتوی فلورسنت تابش شده توسط دوربین حساس سی‌دی که درجه حول محور مرکزی نمونه می‌چرخد، جمع‌آوری می‌گردد و مورد پردازش قرار می‌گیرد. این تصویر شامل اطلاعات مفیدی در مورد عمق و تراکم ماده فلورسنت است بنابراین برای دسترسی به این اطلاعات الگوریتم‌های مناسب جهت بازسازی تصویر نیاز می‌باشد. بازسازی نقشه توزیع فلورسنت و بدست‌آوردن اطلاعات عمق در دو مرحله صورت می‌گیرد. در این بازسازی ابتدا انتقال پرتو در داخل بافت مدل‌سازی می‌شود سپس این مدل برای تعیین توزیع پرتو در مرز بافت تحت آزمایش استفاده می‌شود به این مرحله forward می‌گویند. در مرحله forward یک ماتریس وزنی ایجاد می‌شود که مقادیر شدت در سطح را به خصوصیات اپتیکی درونی مرتبط می‌کند. با استفاده از ماتریس وزنی انجام مرحلهنهایی بازسازی امکان‌پذیر است و مرحله Inverse می‌سیر می‌شود. در این مرحله توزیع مکانی ماده فلورسنت با استفاده از شدت اندازه‌گیری و در سطح بافت تخمین زده می‌شود و با استفاده از معادلات تکراری حل می‌گردد^[۲ و ۳].

برای توصیف انتشار نور در بافت در اکثر سیستم‌های تصویربرداری نوری از تقریب دیفیوژن استفاده می‌شود. برای حل این معادله راه حل‌های مختلفی وجود دارد که معمولاً در محیط‌های همگن این معادله را با استفاده از توابع گرین حل می‌کنند که یک روش تحلیلی است. ولی این روش در محیط‌های ناهمگن و جایی که هندسه بافت پیچیده است، نمی‌تواند پاسخ بافت را به پرتوی نور به خوبی بیان کند. بنابراین در مورد بافت‌های ناهمگن و در جایی که هندسه بافت پیچیده است، از روش اجزای

²Diffuse optical tomography (DOT)

³Fluorescence molecular imaging(FMI)



شکل ۱: فلوچارت مراحل طراحی الگوریتم فوروارد

ساخت فانتوم

فانتومهایی که خصوصیات نوری بافت‌ها را شبیه‌سازی می‌کنند معمولاً توزیع نور را در بافت‌های زنده برسی می‌کنند. فانتوم‌های معادل بافت برای سه هدف طراحی می‌شوند:

- (الف) شبیه‌سازی توزیع نور با توجه به هندسه فیزیکی بافت
- (ب) کالیبراسیون دستگاه نوری
- (ج) ثبت اندازه‌گیری مرجع به وسیله اندازه‌گیری نوری

در این پژوهه فانتوم جامد سیلیکونی براساس دستورالعمل ارائه شده توسط آقای Bays و همکاران [۱۰] ساخته شد. در فانتوم‌های جامد مانند فانتوم‌های سیلیکونی برای شبیه‌سازی ضریب جذب بافت از جوهر هندی و برای شبیه‌سازی ضریب پراکنده‌گی از تیتانیوم اکسید استفاده می‌کنند. مزیت عمدۀ این فانتوم در تهیۀ سریع و داشتن یک ترکیب لاستیکی مستحکم مشابه بافت است و می‌تواند شامل پراکنده‌کننده‌ها و جاذبه‌ای غیر ارگانیک باشد.

برای ساخت فانتوم سیلیکونی نیاز به جزء سازنده سیلیکون و عامل پخت به نسبت یک به ده (۱:۱۰) است. مقدار صحیح و مشخصی از عامل پخت در یک بشر ۸۰ میلی‌لیتری شیشه‌ای و مقدار مشخصی و درست از جزء سازنده سیلیکون در یک بشر

انتقال پرتو داخل بافت را مدل‌سازی می‌کند. از آنجایی که روش المان محدود با تعداد زیادی معادله، بخصوص برای مسائل سه‌بعدی روبه‌رو است، حل آن با استفاده از برنامه‌نویسی رایانه‌ای بسیار ساده‌تر است.

در این روش حوزه مورد نظر به تعدادی المان و گره تقسیم می‌شود. برای درنظرگرفتن مرز بین بافت و هوای شرایط مرزی روبین چون روش اجزای محدود یک روش تقریبی است، برای تمام معادلات دیفرانسیلی حاکم بر سیستم فیزیکی یک راه حل تقریبی درنظر گرفته می‌شود. بنابراین جواب بدست آمده با خطای همراه است. محاسبه این خطای بسیار مهم است. در اینجا دو منبع ایجاد خطای وجود دارد. اول آنکه راه حل درنظر گرفته شده با جواب‌های به دست آمده کاملاً مطابقت ندارد. دومین منبع خطای هم مربوط به میزان دقت معادله جبری حاکم بر سیستم است که به شرایط فیزیکی بستگی دارد. میزان این خطای را می‌توان با توجه به تفاضل تابع تقریب زده شده با تابع اصلی محاسبه کرد. این خطای افزایش تعداد المان‌ها و کاهش سایز آن‌ها کمتر خواهد شد [۹].

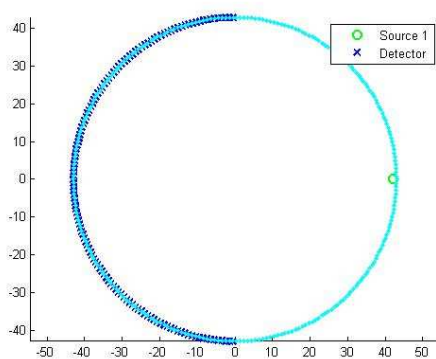
بنابراین هدف این مقاله نوشتن مدل فوروارد برای سامانه برش‌نگاری فلورسنت ملکولی در محیط‌های همگن با استفاده از روش اجزای محدود و تقریب دیفیوژن است. به همین منظور در این مطالعه الگوریتمی برای حل مسئله فوروارد براساس تقریب MatLab دیفیوژن در یک سیستم تصویربرداری FMT در محیط نوشته شد تا شدت فلورسنت بروی سطح مدل‌سازی شود.

روش بررسی

هدف این مقاله طراحی و اجرای الگوریتمی برای شبیه‌سازی انتشار پرتو در بافت در یک محیط همگن با استفاده از روش اجزای محدود برای سیستم برش‌نگاری فلورسنت مولکولی است. به همین منظور از معادله دیفیوژن غیر وابسته به زمان که به شکل زیر است استفاده شد: [۶]

$$-\nabla \cdot k(r) \nabla \Phi(r) + \mu_a(r) \Phi(r) = q_0(r) \quad (1)$$

که $\Phi(r)$ چگالی فوتونی و $k(r)$ ضریب دیفیوژن است. با توجه به مطالعات انجام شده روش باقی‌مانده وزنی به طور مستقیم به دنبال حداقل سازی خطای راه حل تقریبی برای یک معادله دیفرانسیلی جزئی است. شکل ۱ مراحل طراحی و اجرای الگوریتم فوروارد را نشان می‌دهد.



شکل ۲: نمایش منبع و آشکارسازهای نوری واقع بر نقاط گرهای مرزی

توزیع منبع نوری و منبع فلورسنت به صورت گوسین در نظر گرفته شد. با توجه به مرز بین بافت و هوا شرایط مرزی روبین در نظر گرفته شد. ماده فلورسنت به صورت کروی با شعاع ۵ میلی متر با ضرایب جذب برابر با $\frac{1}{2}$ یک بروی میلی متر و ضریب پراکنده‌گی برابر با ۱ یک بروی میلی متر متفاوت با خصوصیات نوری زمینه (ضریب جذب $\frac{1}{2}$ یک بروی میلی متر) و ضریب پراکنده‌گی $\frac{5}{4}$ یک بروی میلی متر) در مرکز مش قرار گرفت که همین امر باعث ایجاد ناهمگنی در محیط می‌شود [۱۱].

بعد از این مرحله مبادرت به نوشتمن الگوریتمی برای اندازه‌گیری شدت پرتوی رسیده به سطح با استفاده از روش اجزای محدود شد. به همین منظور برای حل معادله دیفیوژن از تقریب گالرکین استفاده شد. ماتریس ضرایب، ماتریس جرمی و ماتریس مرزی برای هر المان به دست آمد و سپس با هم انبیل گردیدند و معادله به صورت کلی حل گردید. برای اعتبارسنجی الگوریتم پیشنهادی داده‌های به دست آمده از این الگوریتم با نتایج به دست آمده از نرم‌افزار NIRFAST که یک نرم‌افزار Source است و توسط گروه دهقانی [۱۲] در دانشگاه دارتموث طراحی شده است، مقایسه گردید و داده‌های به دست آمده از الگوریتم طراحی شد و نرم‌افزار مرجع به عنوان ورودی مرحله بازسازی نرم‌افزار مرجع در نظر گرفته شد. همچنین برای ارزیابی آماری داده‌های به دست آمده از آزمون t-test و ضریب همبستگی استفاده شد.

یافته‌ها

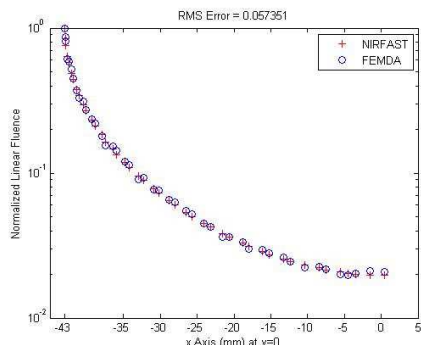
در این بررسی برای تعیین ضرایب اپتیکی محیط یک فانتم معادل بافت از جنس سیلیکون RTV دوجزئی ساخته شد. ضرایب اپتیکی این فانتم در دانشگاه ETH زویخ توسط آزمایشگاه

پلاستیکی ۸۰ میلی لیتری ریخته شد. اجزای سازنده فانتم به دقت با ترازو اندازه‌گیری شد. مقدار دقیق تیتانیوم اکسید با توجه به ضریب پراکنده‌گی کاهش یافته بافت مورد نظر تعیین شد. پس از اندازه‌گیری دقیق مقدار عامل پراکنده‌گی (تیتانیوم اکسید)، داخل بشر شیشه‌ای حاوی عامل پخت ریخته شد. بشر شیشه‌ای دربرگیرنده عامل پخت و عامل پراکنده‌گی داخل یک سونیکاتور قرار گرفت. این دستگاه تقریباً برای یک ساعت برای شکسته شدن ذرات و در هم آمیختن روشن شد. بشر شیشه‌ای پس از یک ساعت از سونیکاتور خارج گردید و به جزء سازنده سیلیکون و عامل جاذب اضافه شد. ابتدا این مواد با سرعت پایین و سپس با سرعت بالا با هم به مدت ۱۵ دقیقه مخلوط گردیدند. بعد از ترکیب مواد با هم مقدار زیادی حباب روی سطح و داخل فانتم ایجاد می‌شود بنابراین ظرف حاوی مواد داخل یک چنبر قرار گرفت تا حباب‌ها پس از چهل و پنج دقیقه خارج شدند. افزایش این بازه زمانی باعث خواهد شد که فانتم سخت شود. مهم است که هر ده تا پانزده دقیقه یک بار چنبر خلا خاموش شود تا به خارج شدن تمام حباب‌ها از داخل فانتم کمک کند. بعد از سه یا چهار بار تکرار این عمل تعداد کمی حباب بروی سطح باقی خواهد ماند که با اسپری هوا از بین رفته‌ند. خلا تاجایی که سطح صاف شود ادامه دارد. بعد از اینکه همه حباب‌ها و کیوم شدند، مخلوط فانتم در قالب نهایی ریخته می‌شود. در این مرحله نیز تعدادی حباب در فانتم ایجاد می‌شود. خلا دوباره برای سی تا شصت دقیقه دیگر ادامه یافت. استفاده از اسپری هوا برای سطح لازم شد. در آخر فانتم در دمای اتاق قرار گرفت تا کاملاً سخت شود.

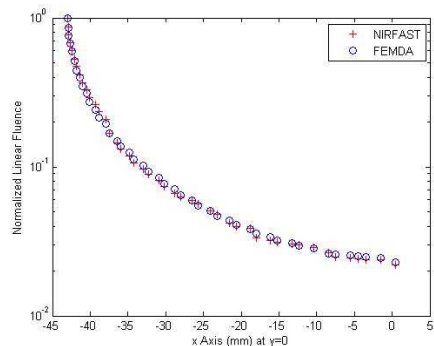
الگوریتم فوروارد

با توجه به شکل ۱ ابتدا یک مش دو بعدی به شعاع ۴۳ میلی متر شامل ۵۹۲۳ گره و ۱۱۵۷۴ المان با استفاده از الگوریتم دیلانی ساخته شد. پس از ساخت مش، نقاط گرهای مرزی از نقاط گرهای داخلی تفکیک داده شد. به همین منظور الگوریتمی با توجه به مختصات کارتزین هر گره در محیط متلب نوشته و اجرا شد. سپس مبادرت به تعیین مکان منبع نوری و آشکارسازهای نوری مطابق با روش برش نگاری و با توجه به هندسه سیستم گردید. تعداد آشکارسازهای نوری براساس تعداد پیکسل‌های دوربین سی سی دی انتخاب شد. شکل ۲ مکان منبع نوری و آشکارسازهای نوری واقع بر نقاط گرهای مرزی را نشان می‌دهد.

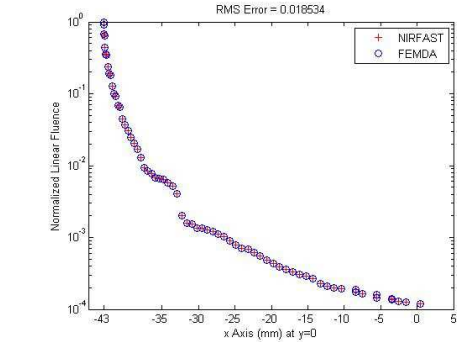
بیشترین مقدار و بهترین با افزایش زاویه پراکندگی فوتون ها در دتکتورهای کناری شدت کمتری ثبت شد.



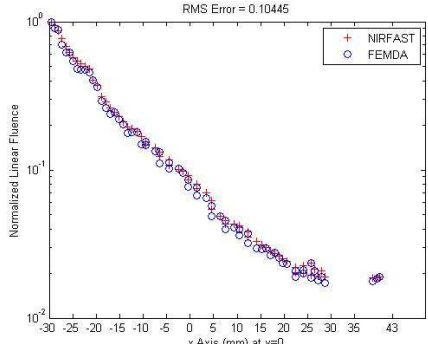
شکل ۳: شدت نرمالیزه سطح در زاویه صفر درجه برای محیط همگن



شکل ۴: شدت نرمالیزه سطح در زاویه ۹۰ درجه برای محیط همگن



شکل ۵: شدت نرمالیزه سطح در زاویه ۱۸۰ درجه برای محیط همگن



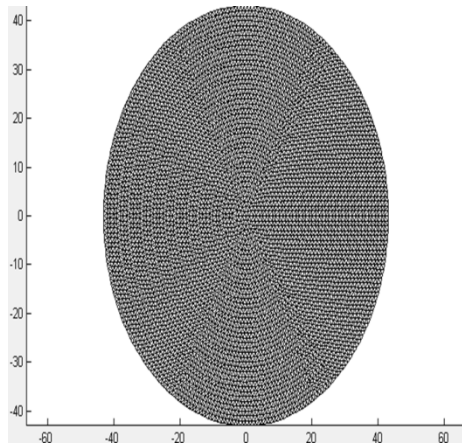
شکل ۶: شدت نرمالیزه سطح در زاویه ۲۷۰ درجه برای محیط همگن

الکترومغناطیس این دانشگاه اندازه گیری گردید. جدول ۱ خصوصیات فانتوم ساخته شده را نشان می دهد.

جدول ۱: خصوصیات فیزیکی و نوری مواد تشکیل دهنده فانتوم معادل بافت

ترکیب مواد	جوهرهندی	تیتانیوم اکسید	سیلیکون جزء اول پخت	سیلیکون دوم(عامل پخت)
ضریب پراکندگی کاهش یافته	۰/۵ یکبر میلی متر			
ضریب جذب	۰/۲ یکبر بروی میلی متر			
مقدار	۱ میکرولیتر	۰/۱ گرم	۱۰ گرم	۱ گرم

در این مطالعه به مدل سازی انتقال پرتو در داخل بافت پرداخته شد و الگوریتمی براساس حل معادله دیفیوژن با استفاده از روش اجزای محدود در محیط Matlab نوشته و اجرا گردید. برای شبیه سازی هندسه دوبعدی، یک مش دایره ای دوبعدی شامل ۵۹۲۳ گره متناظر با ۱۱۵۷۴ المان مثلثی خطی مطابق شکل ۳ استفاده شده است. شعاع این مدل ۴۳ میلی متر مشابه شعاع فانتوم است. در این مش یک ماده فلورسنت با شعاع ۵ میلی متر جای گذاری شده است.

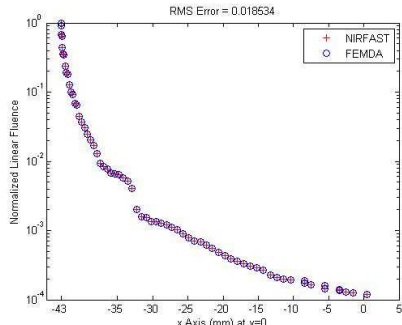


شکل ۳: تصویر از مش ساخته شده

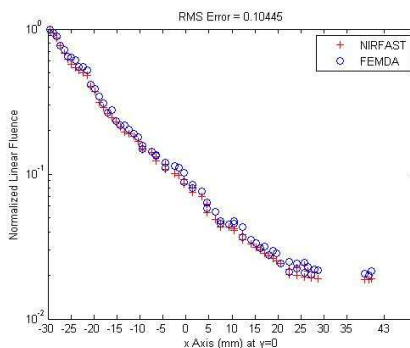
شدت نرمالیزه در نقاط مرزی برای محیط همگن و محیط ناهمگن در زوایای مختلف توسط الگوریتم پیشنهادی اندازه گیری شد و با شدت نرمالیزه اندازه گیری شده توسط نرم افزار مقایسه گردید. میزان شدت ثبت شده توسط آشکارساز روبه روی منبع

جدول ۲: مقادیر RMS و P.value و ضریب همبستگی برای زاویای مختلف برای محیط ناهمگن

زاویه	۰	۳۰	۶۰	۹۰	۱۲۰	۱۵۰	۱۸۰	۲۱۰	۲۴۰	۲۷۰	۳۰۰	۳۳۰
P.value	۰/۱۶	۰/۱۰	۰/۱۱	۰/۱۵	۰/۲۳	۰/۲۴	۰/۲۶	۰/۱۸	۰/۲۸	۰/۱۷	۰/۱۶	۰/۲۱
RMS	۰/۰۱	۰/۱۱	۰/۰۵	۰/۰۰۴	۰/۰۶	۰/۱۴	۰/۰۱	۰/۱۳	۰/۰۴	۰/۲۴	۰/۱۰	۰/۰۰۹
ضریب همبستگی	۰/۹۵	۰/۹۶	۰/۹۵	۰/۹۴	۰/۹۶	۰/۹۷	۰/۹۶	۰/۹۸	۰/۹۷	۰/۹۷	۰/۹۶	۰/۹۶

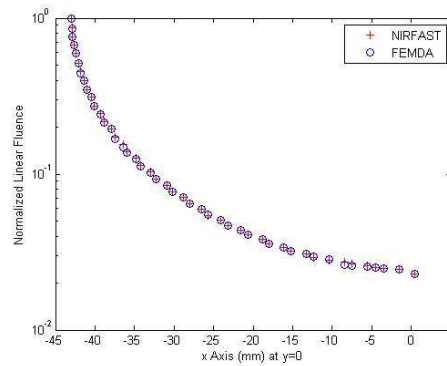


شکل ۹: شدت نرمالیزه سطح در زاویه ۱۸۰ درجه برای محیط ناهمگن



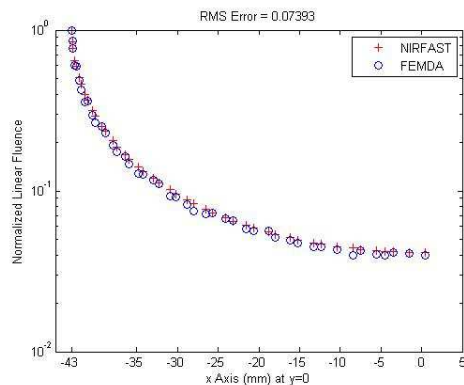
شکل ۱۰: شدت نرمالیزه سطح در زاویه ۲۷۰ درجه برای محیط ناهمگن

با توجه به جدول ۲ و مقادیر P.value به دست آمده در زاویای مختلف، اختلاف معنی‌داری میان نتایج به دست آمده از الگوریتم پیشنهادی و نرم‌افزار مرجع برای محیط همگن مشاهده نشد. شکل‌های ۷ تا ۱۰ مقایسه شدت نرمالیزه شده در سطح را برای محیط ناهمگن در زاویه صفر، ۹۰، ۱۸۰ و ۲۷۰ درجه نشان می‌دهد.



شکل ۷: شدت نرمالیزه سطح در زاویه صفر درجه برای محیط ناهمگن

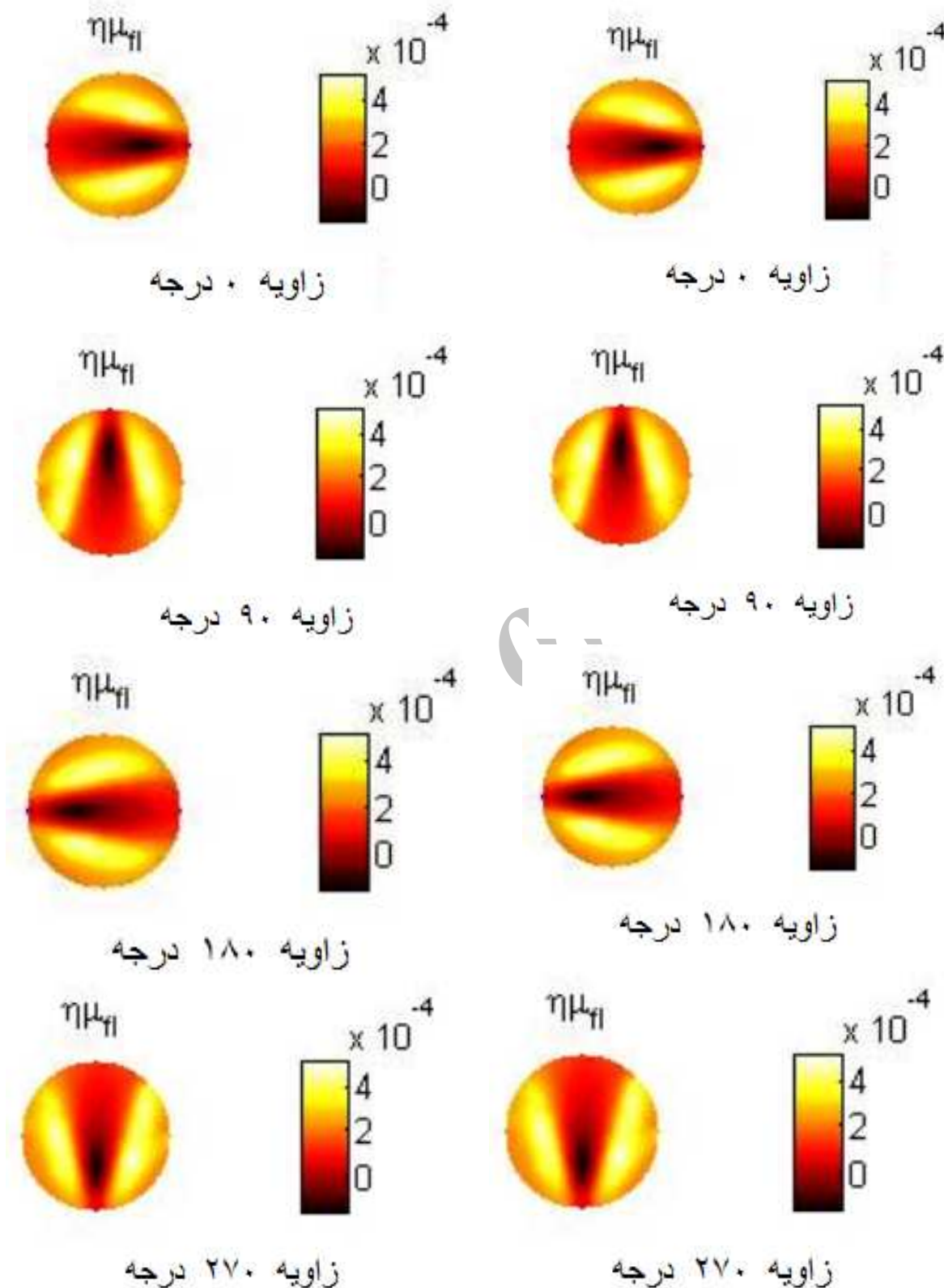
با توجه به جدول ۳ و مقادیر P.value به دست آمده در زاویای مختلف، اختلاف معنی‌داری میان نتایج به دست آمده از الگوریتم پیشنهادی و نرم‌افزار مرجع برای محیط ناهمگن مشاهده نشد. درنهایت، مقادیر به دست آمده از الگوریتم پیشنهادی و همچنین مقادیر حاصل از الگوریتم مرجع به عنوان ورودی در مرحله بازسازی نرم‌افزار مرجع قرار گرفت. مرحله بازسازی برای هر دو الگوریتم ۲۰ بار تکرار گردید و ضرایب بهروزرسانی در هر بار تکرار توسعه نرم‌افزار محاسبه گردید. مشاهده شد که این ضرایب در هر تکرار کاهش پیدا می‌کنند و درنهایت جواب‌های معادله همگرا می‌گردند.



شکل ۸: شدت نرمالیزه سطح در زاویه ۹۰ درجه برای محیط ناهمگن

جدول ۳: مقادیر RMS و P.value و ضریب همبستگی برای زاویای مختلف برای محیط ناهمگن

زاویه	۰	۳۰	۶۰	۹۰	۱۲۰	۱۵۰	۱۸۰	۲۱۰	۲۴۰	۲۷۰	۳۰۰	۳۳۰
P.value	۰/۱۷	۰/۱۰۲	۰/۱۲	۰/۱۸	۰/۲۰۵	۰/۲۴	۰/۲۸۱	۰/۲	۰/۲۴	۰/۲۵	۰/۲۴	۰/۲۲
RMS	۰/۰۱	۰/۱۱	۰/۰۵	۰/۰۰۴	۰/۰۶۱	۰/۱۴	۰/۰۱۸	۰/۱۳	۰/۰۴	۰/۲۴	۰/۱۰	۰/۰۰
ضریب همبستگی	۰/۹۵	۰/۹۶	۰/۹۵	۰/۹۴	۰/۹۶	۰/۹۷	۰/۹۶	۰/۹۸	۰/۹۷	۰/۹۷	۰/۹۶	۰/۹۶



شکل ۱۲: نمایش شدت نرمالیزه اندازه گیری شده در سطح توسط الگوریتم مرجع

شکل ۱۱: نمایش شدت نرمالیزه اندازه گیری شده در سطح توسط الگوریتم پیشنهادی

محیط‌های همگن این معادله را با استفاده از توابع گرین حل می‌کنند که یک روش تحلیلی است. ولی در محیط‌های ناهمگن و جایی که هندسه بافت پیچیده است، روش تحلیلی نمی‌تواند پاسخ مناسبی برای معادله دیفیوژن بیان کند. بنابراین آریج و شوآگر [۷] درمورد بافت‌های ناهمگن با هندسه پیچیده از روش اجزای محدود که یک دیدگاه عددی، سریع و انعطاف‌پذیر است، استفاده کردند و جواب‌هایی با دقت بالاتر نسبت به روش تحلیلی در محیط همگن و ناهمگن با هندسه پیچیده بهدست آورند. اساس تقریب دیفیوژن بر این است که انتشار پرتو با درصد بیشتری به سمت جلو است. استفاده از این تقریب محاسبات بعدی را بسیار ساده‌تر کرد. نظریه روش المان‌های محدود استفاده‌می‌شود. روش‌های عددی اجزای محدود مبتنی بر روش باقیمانده وزنی هستند و مفهوم فیزیکی باقیمانده وزنی به معنای میزان خطای است که در نتیجه درنظرگرفتن یک تقریب برای حل معادلات دیفرانسیلی دربرابر حل واقعی معادله بهدست می‌آید. الگوریتم طراحی شده شامل ساخت مش، تعیین نقاط مرزی، مشخص نمودن مکان منبع لیزر و آشکارسازها، جای‌گذاری منبع فلورسنت، تعیین ضریب دیفیوژن، حل معادله دیفیوژن با استفاده از تقریب گالرکین، تعیین ماتریس سختی، بهدست آوردن ضرایب ماتریس سختی، اندازه‌گیری مقادیر منبع و درنهایت حل معادله ماتریسی بهدست آمده با استفاده از روش تقسیم چهی و محاسبه شدت پرتوی رسیده به سطح بود. الگوریتم پیشنهادی برای هندسه دو بعدی طراحی شده است. برای ساخت مش از الگوریتم دیلانی استفاده شد بنابراین یک مش دو بعدی دایره‌ای با شعاع ۴۳ میلی‌متر شامل ۵۹۲۳ گره و ۱۱۵۷۴ المان طراحی شد. هدف از حل مشکل فوروارد اندازه‌گیری شدت پرتوی رسیده به سطح است. به همین منظور باید مقادیر شدت را در نقاط مرزی اندازه‌گیری نمود و مورد بررسی قرار داد. دهقانی و همکاران [۱۳] برای بازسازی تصاویر برش‌نگاری پخش نوری مقادیر بهدست آمده روی مرز را اندازه‌گیری کردند. در این پایان‌نامه نیز شدت پرتو روی نقاط مرزی مورد بررسی قرار گرفت و مکان منبع نوری و آشکارسازها نیز بروی این نقاط تعیین شد. بنابراین الگوریتمی در محیط متلب نوشته شد که مبتنی بر شناسایی گره‌های مرزی از کل گره‌های موجود در مش بود. به این ترتیب نقاط خارجی از نقاط داخلی تفکیک داده شد و اندازه‌گیری‌ها برای گره مرزی صورت پذیرفت.

مکان منبع نوری و آشکارسازهای نوری با توجه به سیستم تصویربرداری برش‌نگاری انتخاب شد. چون در سیستم برش‌نگاری فلورسنت مولکولی منبع نوری و آشکارساز در مقابل هم در دو

شكل ۱۱ و ۱۲ شدت پرتوی رسیده به سطح را به ترتیب برای الگوریتم فوروارد طراحی شده و الگوریتم فوروارد نرم‌افزار مرجع نشان می‌دهد. با توجه به شکل‌ها مطابقت خوبی میان نتایج بهدست آمده از الگوریتم پیشنهادی و الگوریتم مرجع وجود دارد.

بحث

برش‌نگاری فلورسنت مولکولی (FMT) روش نوینی است که به طور متداول در پزشکی مورد استفاده قرار می‌گیرد. این روش مبتنی بر اصول توموگرافی نوری نشری است که در آن از پرتوهای فلورسنت به عنوان منبع کنتراست استفاده می‌شود. در FMT نقشه بازسازی سه‌بعدی توزیع منابع فلورسنت در بافت با استفاده از جمع‌آوری اطلاعات از سطح بافت و پردازش آن‌ها انجام می‌شود. بازسازی منابع فلورسنت در دو مرحله فوروارد و بازسازی صورت می‌گیرد. مرحله فوروارد از اهمیت زیادی برخوردار است زیرا در تصویربرداری FMT فقط توزیع شدت فلورسنت در سطح بافت جمع‌آوری می‌شود و دسترسی به نحوه انتشار پرتو در داخل بافت وجود ندارد. بنابراین در مرحله فوروارد نحوه انتشار پرتو داخل بافت با حل معادله دیفیوژن صورت می‌گیرد و تمام شرایط آزمایشگاهی و هندسی سامانه تصویربرداری طراحی شده لحاظ می‌گردد.

هدف اصلی این مطالعه طراحی و اجرای الگوریتم فوروارد مربوط به چینش FMT غیر تماشی جدیدی بود که برای اولین بار در ایران طراحی و ساخته شده است. مرحله فوروارد از حل معادله دیفیوژن در محیط معادل بافت با درنظر گرفتن منبع استوانه‌ای در یک محیط توربید همگن اجرا شد. با استفاده از این الگوریتم توزیع پرتوی فلورسنت در سطح نمونه با درنظر گرفتن هندسه استوانه‌ای بهدست آمد. بنابراین در این پژوهش الگوریتم‌ها برای مدل‌سازی نور در مرحله فوروارد نوشته و نتایج بهدست آمده با نتایج تحقیقات مشابه مقایسه شد. اما، قبل از مقایسه تغییراتی در ساختار دستگاه توموگرافی جهت تهیه تصاویر مورد نیاز ایجاد شد.

در این مطالعه جهت طراحی الگوریتم فوروارد تصاویر سیستم برش‌نگاری فلورسنت مولکولی از روش اجزای محدود استفاده شد. به همین منظور یک فانتوم معادل بافت از جنس سیلیکون RTV ساخته شد و خصوصیات نوری این فانتوم توسط گروه الکترومغناطیس دانشگاه ETH زوریخ اندازه‌گیری شد و ضرایب جذب و پراکندگی آن در الگوریتم پیشنهادی مورد استفاده قرار گرفت. برای توصیف انتشار نور در بافت در اکثر سیستم‌های تصویربرداری نوری از تقریب دیفیوژن استفاده می‌شود. برای حل این معادله راه حل‌های مختلفی وجود دارد که معمولاً در

استفاده شد. درنهایت برای ارزیابی، نتایج به دست آمده از الگوریتم پیشنهادی با نتایج نرم افزار NIRFAST مورد مقایسه گرفت و با توجه به P.value های به دست آمده اختلاف معنی داری میان داده های الگوریتم پیشنهادی و نرم افزار مرجع مشاهده نشد. از آنجاکه روش اجزای محدود یک روش تقریب است بنابراین میان جواب های واقعی و جواب های تقریبی اختلاف وجود دارد که این تفاوت باید به حداقل برسد و جواب ها به پاسخ واقعی نزدیک شوند به همین منظور پس از طراحی الگوریتم از آن به عنوان ورودی مرحله بازسازی استفاده شد و مرحله بازسازی بیست بار تکرار شد. کاهش ضایعه به روزرسانی نشان داد که پاسخ الگوریتم درنهایت همگرا می شود و به پاسخ واقعی نزدیک می گردد.

درنهایت، این روش به خوبی شدت رسیده به سطح نمونه را توصیف کرد. زمان محاسبه این الگوریتم در هندسه دو بعدی برابر ۴۲ ثانیه بود که نشان دهنده سرعت بالای الگوریتم است. همچنین ضریب همبستگی در این بررسی بیش از ۹۵ درصد است که نشان دهنده دقت بالای الگوریتم بود. نتایج به دست آمده از این الگوریتم می تواند برای حل قسمت معکوس مورد استفاده قرار گیرد. الگوریتم نوشتۀ شده با مقادیر مشابه در نرم افزار NIRFAST اختلاف معنی داری نداشت.

طرف نمونه قرار می گیرند [۱۴]. این بررسی نیز بر اساس سیستم برش نگاری فلورسنت مولکولی انجام شد بنابراین چیدمان منبع نوری و آشکارسازهای نوری نیز بر همین اساس تعیین گردید. به طوری که منبع نوری در یک سمت و رو به روی آن نیز آشکارسازها بر روی نقاط مرزی قرار گرفتند. همچنین به دلیل این که سیستم تصویربرداری به صورت برش نگاری عمل می کند، بنابراین این عمل در هر ده درجه از صفر تا ۳۶۰ درجه تکرار شد و مقدار شدت رسیده به سطح و جمع آوری شده به وسیله آشکارسازها اندازه گیری گردید. این در حالی است که دهقانی و همکاران [۱۲] برای روش برش نگاری پخش نوری تنها از یک منبع نوری و آشکارساز استفاده کردند. در حالی که در FMT در هر زاویه به طور جداگانه یک منبع نوری در فاصله $\mu\text{m}/1$ از نقطه ورودی گذاشته شد و ۱۳۵ آشکارساز به طور جداگانه روی نقاط مرزی قرار گرفت و شدت رسیده به سطح اندازه گیری شد. منبع فلورسنت در مرکز مش قرار گرفت. با توجه به همین امر مشاهده شد که در تمام زوایا شدت یکسانی به سطح می رسد. در این مطالعه معادله دیفیوژن با استفاده از تقریب گالرکین حل شد. شواگر [۷] در کار خود از توابع پایه ای لاغرانژ به دلیل دقت استفاده کرد. دقت این توابع به شکل المان ها بستگی دارد. به همین دلیل در اینجا نیز از همین توابع به عنوان توابع پایه

References

1. Ntziachristos V. Fluorescence molecular imaging. Annu. Rev. Biomed. Eng. 2006; 8: 1-33.
2. Paulsen KD, Jiang H. Spatially varying optical property reconstruction using a finite element diffusion equation approximation. Medical Physics-New York-Institute of Physics. 1995; 22(6): 691-702.
3. Stuker F. Hybrid Imaging: combining Fluorescence Molecular Tomography with Magnetic Resonance Imaging, Zurich. 2011: 1.
4. Schweiger M, Arridge S, Delpy D. Application of finite element method for forward and inverse models in Optical Tomography. Journal of Mathematical Imaging and Vision. 1993; 3: 263-83.
5. Schweiger M, Arridge S, Hiraoka M, Delpy D. The finite element method for propagation of light in scattering media :Boundary and Source condition. Med.Phys. 1995; 22(11): 1779-92.
6. Arridge S, Schweiger M, Dehghani H, Okada E. The finite element model for propagation of light in scattering media : A direct method for domain with non-scattering regions. Med.Phys. 2000; 27(1): 252-64.
7. Soloviev V, D'Andrea C, Valentini G, Arridge S. Combined reconstruction of fluorescent and optical parameters using time-resolved data. Applied Optics. 2009; 48(1): 28-36.
8. Ducros N, Bassi A, Valentini G, Schweiger M, Arridge S, D'Andrea C. Multiple-view fluorescence optical tomography reconstruction using compression data. Optical Letters. 2011; 36(8): 1377-9.
9. Cook RD. Concept and Application of Finite Element Analysis. Book.
10. Brian W. Patterson P and MS. Review of tissue simulating phantoms for optical spectroscopy, imaging and dosimetry. Journal of Biomedical Optics 2006; 11(4): 041102(1-16).

- 11.Cameron M. Computational Aspects of Endoscopic (Transrectal) Near-infrared Optical Tomography: Initial Investigations. *Optical Tomography and Spectroscopy of Tissue VII* 2007; 6434: 643409(1-10).
- 12.Dehghani H. Near infrared optical tomography using NIRFAST: Algorithm for numerical model and image reconstruction. *CommunNumer Methods Eng.* 2009; 25: 711-32.
- 13.Dehghani H. The effects of internal refractive index variation in near-infrared optical tomography: a finite element modelling approach. *Phys. Med. Biol.* 2003; 48: 2713–27.
- 14.Li C, Mitchell GS, Dutta J, Ahn S, Leahy RM, Cherry SR. A three-dimensional multispectral fluorescence optical tomography imaging system for small animals based on a conical mirror design. *Optics express* 2009; 17(9): 7571-85.

Archive of SID